

сообщения
объединенного
института
ядерных
исследований
дубна

2963/2-81

15/6-81

P1-81-126

А.Абдивалиев, К.Бешлиу, А.П.Гаспарян,
С.Г.Груиа, А.П.Иерусалимов, Д.К.Копылова,
Ф.Которобай, В.И.Мороз, А.В.Никитин,
Ю.А.Троян

СЕЧЕНИЯ КАНАЛОВ РЕАКЦИЙ
В ТРЕХЛУЧЕВЫХ пр-ВЗАИМОДЕЙСТВИЯХ
ПРИ $P_n = 1,25; 1,73; 2,23; 3,83$
И 5,10 ГэВ/с

1981

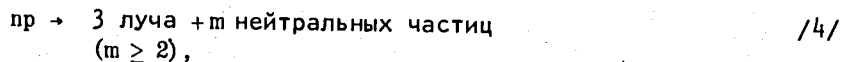
1. УСЛОВИЯ ЭКСПЕРИМЕНТА

Для изучения пр-взаимодействий в интервале импульсов $1\div 5$ ГэВ/с однометровая водородная пузырьковая камера^{/1/} была облучена нейтронами от стриппинга ускоренных дейtronов^{/2/}. Импульсы и ширины спектров нейтронов составляли $R_n \pm \sigma_p = /1,25\div 0,03/$ ГэВ/с, $/1,73\div 0,05/$ ГэВ/с, $/2,23\div 0,07/$ ГэВ/с, $/3,83\div 0,12/$ ГэВ/с, $/5,10\div 0,17/$ ГэВ/с.

Условия облучения описаны в работе^{/2/}.

Пучок первичных нейтронов был сколлимирован и направлен по оси камеры. Рабочая область пучка равнялась 4×4 см². На расстоянии 0,8 см от границы пучка шли только вторичные нейтроны. Эффективность просмотра составляла более 0,99.

Исследовались реакции:



для чего отбирались трехлучевые звезды; ранее в событиях этой топологии была исследована реакция^{/3/}:



При определении сечений были сделаны поправки на пары Да-лица. Около 1,2% событий^{/2/} сопровождаются электронно-позитронными парами Да-лица и при просмотре могли быть ошибочно исключены из трехлучевых звезд. Также могли быть потеряны события^{/4/} с парами Да-лица. Оценки показывают, что таких случаев - менее 1% числа событий^{/4/}. Однолучевые звезды с парами Да-лица могли быть ошибочно приняты за трехлучевые звезды. Количество таких случаев соответствует сечению^{/0,08\div 0,13/} мб, они могут в основном попадать в события^{/4/}. Часть случаев однолучевых звезд с парой Да-лица была исключена при просмотре.

Вторая группа поправок связана со вторичными нейтронами, сопровождающими первичный пучок. Вторичные нейтроны возникают в передней стенке камеры и в слое жидкого водорода, расположенному перед рабочим объемом. Оценки показывают, что таких

событий, вызванных вторичными нейтронами, не более 6÷9% в зависимости от импульса пучка. Методически они делятся в отношении 1:2 между реакциями /2÷3/ и /4/.

События измерялись на сканирующем автомате HPD /~80%/ и полуавтоматах ПУОС /~20%/ . Их геометрическая реконструкция и идентификация выполнялись по программам /5,6/, оптические константы камеры были взяты из работы /7/.

Средняя точность определения P_{Σ} была лучше 2%, где

$$P_{\Sigma} = \left| \sum_{i=1}^3 \vec{P}_i \right|,$$

\vec{P}_i - измеренные импульсы частиц;

события с

$$\Delta P_{\Sigma} > 0,09 P_n \quad \text{или} \quad \Delta P_i / P_i > 0,30$$

/6/

считались неизмеримыми.

В рабочем объеме камеры таких событий насчитывалось около 3% при $P_n = 5,10$ ГэВ/с, с уменьшением P_n относительное количество неизмеримых событий быстро падало. При расчете сечений принималось, что соотношение процессов /1÷4/ для группы неизмеримых событий такое же, как и для остальных.

Идентификация каналов реакций основывалась на использовании величин χ^2 для каждого конкретного события. В качестве доверительных границ принимались значения $C_4 = 25$ для четырех степеней свободы и $C_1 = 12,5$ для одной степени свободы.

Следует отметить, что о принадлежности события к процессу /3/ можно сделать два предположения в зависимости от того, какой из положительных треков /быстрый или медленный/ является протоном. Эти гипотезы обозначаются соответственно как "п" и "п'".

Типичные распределения событий по величине χ^2 показаны на рис.1:/а - для реакции /1/, б - для реакции /3//.

Представление о возможности разделения событий только по χ^2 дает табл.1, в которой показано распределение событий по доверительным областям для различных гипотез и их комбинаций.

Если значения χ^2 для двух или большего числа гипотез попадали в доверительные интервалы, то для идентификации положительных частиц использовалась визуальная оценка ионизации. Эта процедура применялась для $P_{\pi} < 1100$ МэВ/с при условии, что трек частицы имеет угол погружения $|\alpha| < 45^\circ$.

2. ВЫДЕЛЕНИЕ СОБЫТИЙ $\text{pr} \rightarrow \text{pp}^-$

В условиях эксперимента имеются достаточно большие группы событий, удовлетворяющие одновременно условиям $\chi_1^2 < C_4$ и $\chi_i^2 < C_1$ ($i=2,3$), где χ_i^2 относится к гипотезе (1).

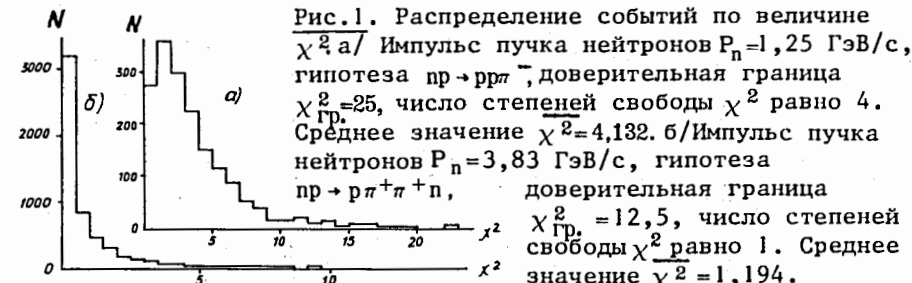


Рис.1. Распределение событий по величине χ^2 . а) Импульс пучка нейтронов $P_n = 1,25$ ГэВ/с, гипотеза $\text{pr} \rightarrow \text{pp}^-$, доверительная граница $\chi^2 = 25$, число степеней свободы χ^2 равно 4. Среднее значение $\chi^2 = 4,132$. б) Импульс пучка нейтронов $P_n = 3,83$ ГэВ/с, гипотеза $\text{pr} \rightarrow \pi^+\pi^+\pi^-$, доверительная граница $\chi^2 = 12,5$, число степеней свободы χ^2 равно 1. Среднее значение $\chi^2 = 1,194$.

Таблица 1

Количество событий /в процентах/, для которых χ^2_1 попадает в различные доверительные области. В колонках слева единичкой отмечено попадание в доверительную область для соответствующей гипотезы

Гипотезы				Импульс пучка /ГэВ/с/			
$\text{pr} \pi^-$	$\text{pr} \pi^0$	$\text{pr} \pi^+ \pi^-$	$\text{pr} \pi^+ \pi^0$	1,25	2,23	3,83	5,10
I	-	-	-	100	35,2	13,9	5,3
-	I	-	-	-	8,5	13,2	13,0
I	I	-	-	-	3,0	6,9	10,9
-	-	I	-	-	48,2	48,7	45,2
I	-	I	-	-	0,1	0,9	0,3
-	I	I	-	-	0,1	1,8	5,3
I	I	I	-	-	-	0,1	0,6
-	-	-	I	-	2,9	II,2	13,1
I	-	-	I	-	-	-	-
-	I	-	I	-	-	I,3	2,2
I	I	-	I	-	-	-	-
-	-	I	I	-	-	0,9	1,6
I	-	I	I	-	-	-	-
-	I	I	I	-	-	I,I	2,5
I	I	I	I	-	-	-	-

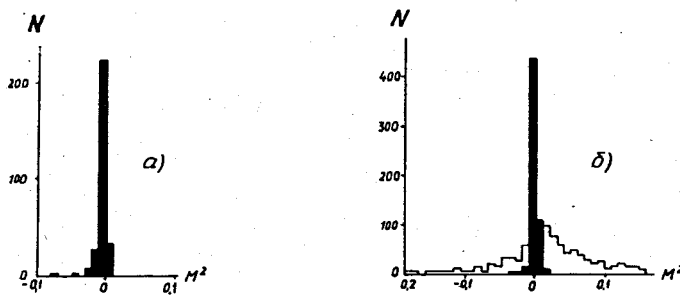


Рис.2. Распределение событий с $\chi_1^2 < 25$ по недостающей массе M^2 для $P_n = 5,10$ ГэВ/с. а/ Распределение по M^2 событий с $\chi_1^2 < 25$, $\chi_2^2 < 12.5$, $\chi_3^2 < 12.5$. Среднее значение $M^2 = -3552 / \text{МэВ/с}^2$. б/ Распределение /черное/ по M^2 событий с $(\chi_1^2 < 25, \chi_2^2 < 12.5)$. $M^2 = -3186 / \text{МэВ/с}^2$. Тонкой линией нанесено распределение событий по M^2 для процесса $p \rightarrow pp\pi^0$, который выделен по условию $\chi_1^2 > 25$, $\chi_2^2 < 12.5$. Максимум распределения соответствует массе π^0 -мезона.

Анализ распределений по недостающей массе M^2 показывает /рис.2/, что все эти события следует отнести к событиям /1/.

Действительно, форма распределения /1/ по M^2 на рис.2а полностью совпадает с формой распределения по M^2 всех событий с $\chi_1^2 < C_4$ /рис.2б/. Распределение оставшихся событий на рис.2б ($\chi_1^2 > C_4$, $\chi_2^2 < C_1$) симметрично, его максимум отвечает массе π^0 -мезона. Таким образом, к событиям $p \rightarrow pp\pi^-$ были отнесены все события с $\chi_1^2 < C_4$.

Вывод о том, что события с $\chi_1^2 < C_4$ вызваны процессом /1/, согласуется с приведенными в работе /8/ соображениями о преимущественном отнесении событий, удовлетворяющих одновременно 4с- и 1с-фиту, к реакциям, соответствующим 4с-фиту, и подтверждается тем, что при проведении идентификации событий по ионизации положительных треков не найдено противоречий условию $\chi_1^2 < C_4$.

3. ВЫДЕЛЕНИЕ СОБЫТИЙ $p \rightarrow pp\pi^-\pi^0$ И $p \rightarrow p\pi^+\pi^-n$

Из табл.1 следует, что при $P_n = 5,10$ ГэВ/с для 13 и 60% событий χ^2 попадает только в доверительную область соответственно процессов /2/ или /3/ и для 10% событий одновременно выполняется условие $\chi_2^2 < C_1$ и $\chi_3^2 < C_1$.

Для разделения событий по реакциям /2/ и /3/ была использована изотопическая симметрия процесса /3/, вследствие которой

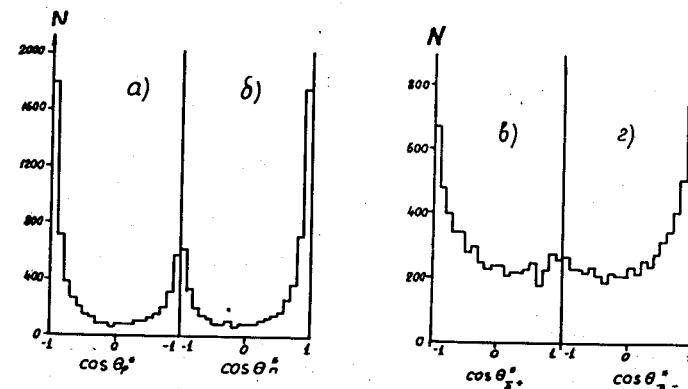


Рис.3. Распределение в СЦМ частиц по $\cos \theta^*$ из событий, идентифицированных как $p \rightarrow p\pi^+\pi^-n$ при $P_n = 3,83$ ГэВ/с. а/ Протоны, $\cos \theta_p^* = -0,308$; б/ нейтроны, $\cos \theta_n^* = 0,289$, в/ π^+ -мезоны, $\cos \theta_{\pi^+}^* = -0,156$; г/ π^- -мезоны, $\cos \theta_{\pi^-}^* = 0,173$.

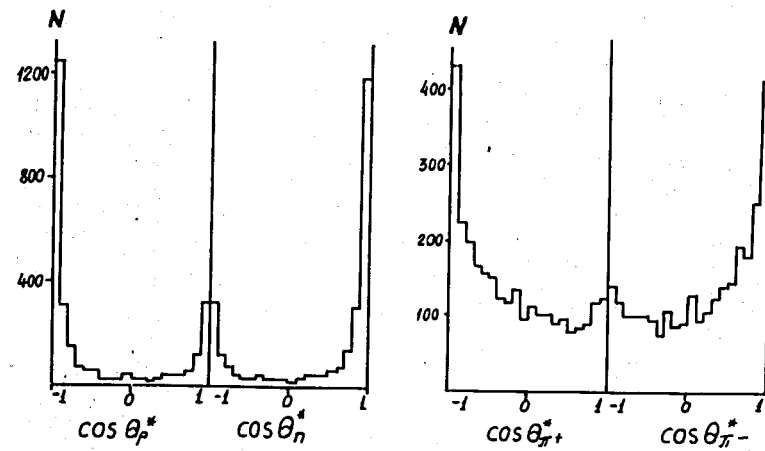


Рис.4. Распределение по $\cos \theta^*$ в СЦМ частиц из событий, идентифицированных как $p \rightarrow p\pi^+\pi^-n$, при $P_n = 5,10$ ГэВ/с. а/ Протоны, $\cos \theta_p^* = -0,415$; б/ нейтроны, $\cos \theta_n^* = 0,391$; в/ π^+ -мезоны, $\cos \theta_{\pi^+}^* = -0,215$; г/ π^- -мезоны, $\cos \theta_{\pi^-}^* = 0,202$.

импульсные спектры π^+ -мезонов в лабораторной системе и π^- -мезонов в антилабораторной системе должны совпадать. Спектр π^- -мезонов имеет довольно четкую границу при $P_{11m} = 2,3$ ГэВ/с

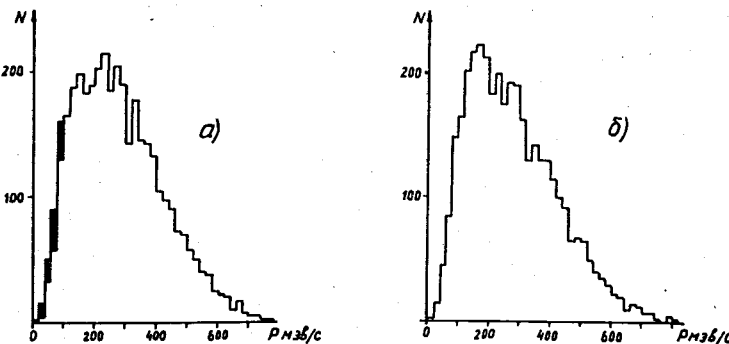
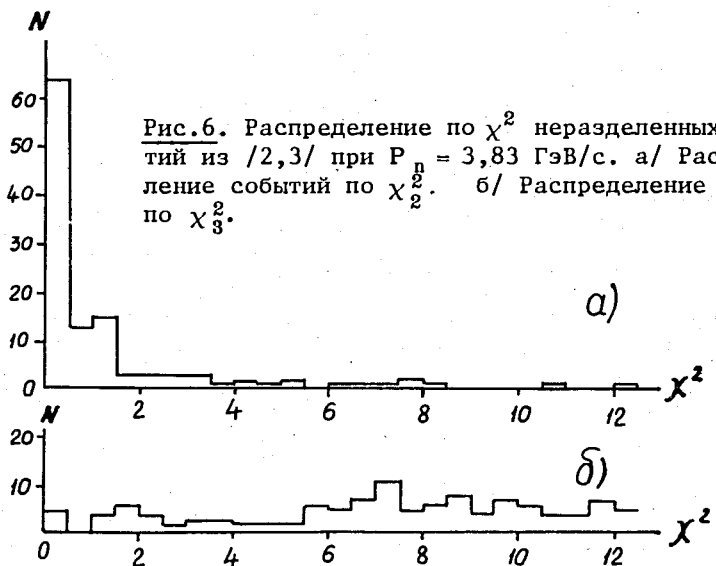


Рис.5. Импульсные спектры π^+ -мезонов в лабораторной системе /а/ и π^- -мезонов в антилабораторной системе /б/. / $P_n = 2,23$ ГэВ/с, процесс $p\bar{p} \rightarrow p\pi^+\pi^-\pi^-$. а/ Черным отмечены изменения в распределении за счет весов $W > 1$ для событий с $P_{\pi^+} < 100$ МэВ/с, т.е. поправки на потери низкоэнергетических π^+ -мезонов.



/значение для $P_n = 5,10$ ГэВ/с/. В области выше этой границы попадает не более 1,1% π^- -мезонов из событий реакции /3/. Поэтому все положительные частицы с импульсом $P > P_{lim}$ можно считать протонами. Этот прием резко уменьшает количество неразделенных событий.

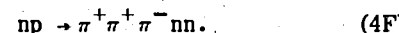
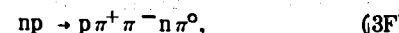
Для получения лучшего согласия между спектрами π^+ -и π^- -мезонов в лабораторной и антилабораторной системах соответственно большую часть оставшихся неразделенных событий из групп (π^0, π) и (π^0, π') необходимо было отнести к событиям процесса /2/ для улучшения симметрии в СЦМ между распределениями изотопически сопряженных частиц /рис. 3 и 4/. Справедливость такого разделения подтверждают результаты, полученные при моделировании реакций /2/ и /3/, которое описывается ниже. При этом разделение событий "п" и "п'" было сделано по относительной величине χ^2 .

Сравнение импульсных спектров сопряженных частиц π^+ и π^- , p и p' позволяет ввести коррекцию на потерю событий с малоэнергичными частицами /рис.5/.

Анализ распределений по величине χ^2 для событий (π^0, π) и (π^0, π') показывает, что неопределенность предложенной процедуры разделения составляет $\sim 0,23$ мб при $P_n = 5,10$ ГэВ/с. С уменьшением P_n эта неопределенность быстро убывает, и при $P_n = 3,83$ ГэВ/с ее уже практически нет /рис.6/, так как распределение по χ^2 в предположении о принадлежности этих событий к реакции /2/ близко в теоретическому, а в предположении об их принадлежности к реакции /3/ резко отличается. Поэтому события этого класса следует отнести к реакции /2/.

4. ОПРЕДЕЛЕНИЕ ПОПРАВКИ НА СОБЫТИЯ С ДОПОЛНИТЕЛЬНЫМ π^0 -МЕЗОНОМ ИЛИ ДВУМЯ НЕЙТРОНАМИ

При $P_n = 5,10$ и $3,83$ ГэВ/с с довольно большим сечением идут процессы



На рис.7-9 представлены распределения по квадрату недостающей массы (M^2) событий, отнесенных к реакциям /2/ и /3/.

Максимумы распределений хорошо согласуются с массами π^0 -мезона и нейтрона соответственно. Однако ясно заметна несимметрия распределений. Правая часть распределения //хвост// выше, чем левая. Естественное объяснение связано с тем, что события (2F), (3F) и (4F) имеют определенную вероятность получить малый χ^2 в предположении о принадлежности их к процессам /2/ или /3/.

Для определения величины фона была использована специальная процедура /9/, которая будет изложена на примере реакций /3/ и фоновой реакции (3F).

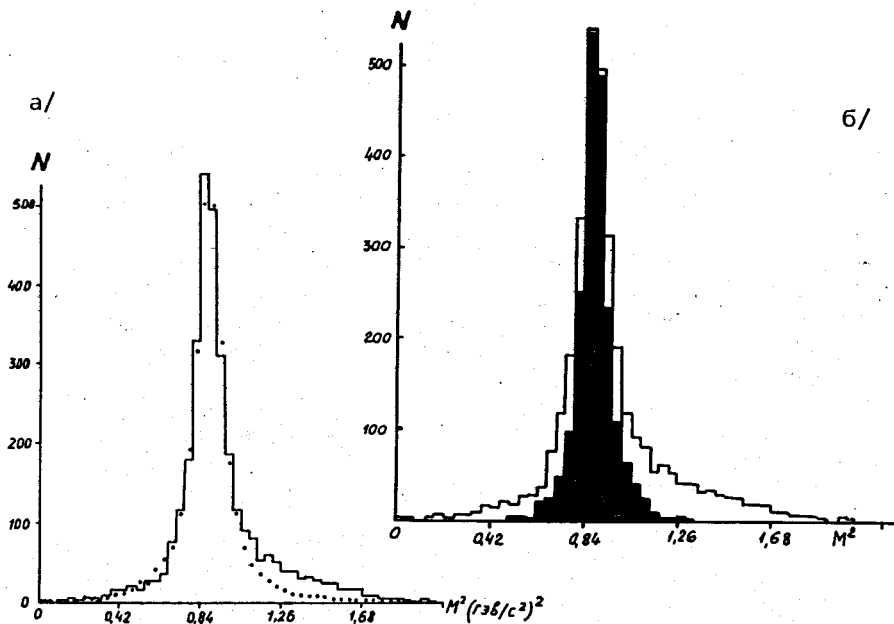


Рис.7. Распределение событий, идентифицированных как $p \rightarrow pp^+\pi^-\pi^-$, по величине квадрата недостающей массы для $P_n = 5,10$ ГэВ/с. а/ Пунктиром обозначено смоделированное распределение, которое на участке $0,294 < M^2 < 1,05 / \text{ГэВ}/\text{с}^2/2$ подгонялось по оси ординат к экспериментальному распределению. События в области $M^2 > 1,05 / \text{ГэВ}/\text{с}^2/2$ имеют вес $W < 1$, так как там есть примесь от процесса $p \rightarrow pp^+\pi^-\pi^0$. $M^2 = 0,937 / \text{ГэВ}/\text{с}^2/2$ до коррекции, $M^2 = 0,882 / \text{ГэВ}/\text{с}^2/2$ после коррекции весов; в распределении – 3178 событий. б/ Выборка из экспериментальных событий по условию $\chi^2_3 < 1$. В распределении – 1964 события.

Из событий, попавших в распределение по M^2 /рис.7б/, делается выборка по $\chi^2_{pp^+\pi^-\pi^-} < 1$ /закрашено черным/. Распределение отобранных событий симметрично по M^2 , так как такая выборка уменьшает долю фоновых событий. Каждое из событий выборки используется как исходное при моделировании процесса измерений, который будет менять подобранные программой идентификации параметры частиц. /Распределение измерительных ошибок считается нормальным, дисперсии параметров для каждого трека берутся из программы геометрической реконструкции/.

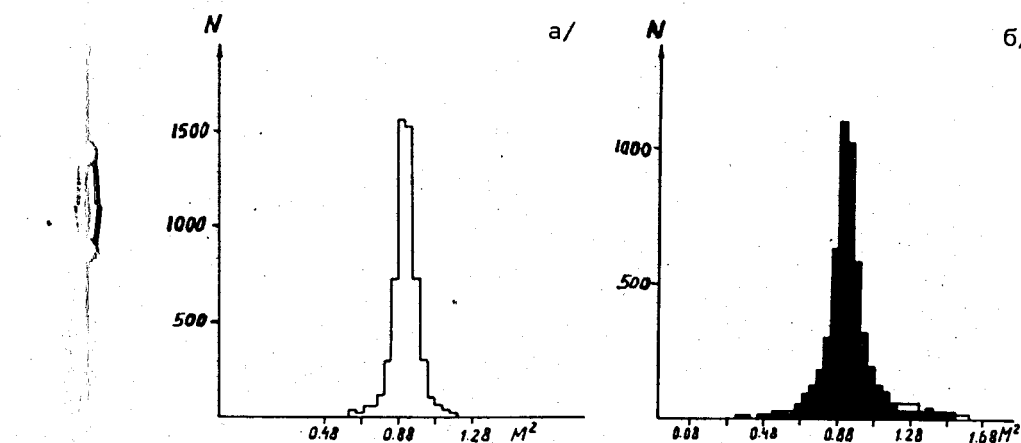


Рис.8. Распределение событий, идентифицированных как $p \rightarrow pp^+\pi^-\pi^-$ по величине квадрата недостающей массы для $P_n = 2,23$ и $3,83$ ГэВ/с. а/ $P_n = 2,23$ ГэВ/с, $M^2 = 0,878 / \text{ГэВ}/\text{с}^2/2$, 3723 событий, б/ $P_n = 3,83$ ГэВ/с, $M^2 = 0,897 / \text{ГэВ}/\text{с}^2/2$ до коррекции на фон от процесса $p \rightarrow pp^+\pi^-\pi^0$, $M^2 = 0,880 / \text{ГэВ}/\text{с}^2/2$ после коррекции, в распределении – 5843 события.

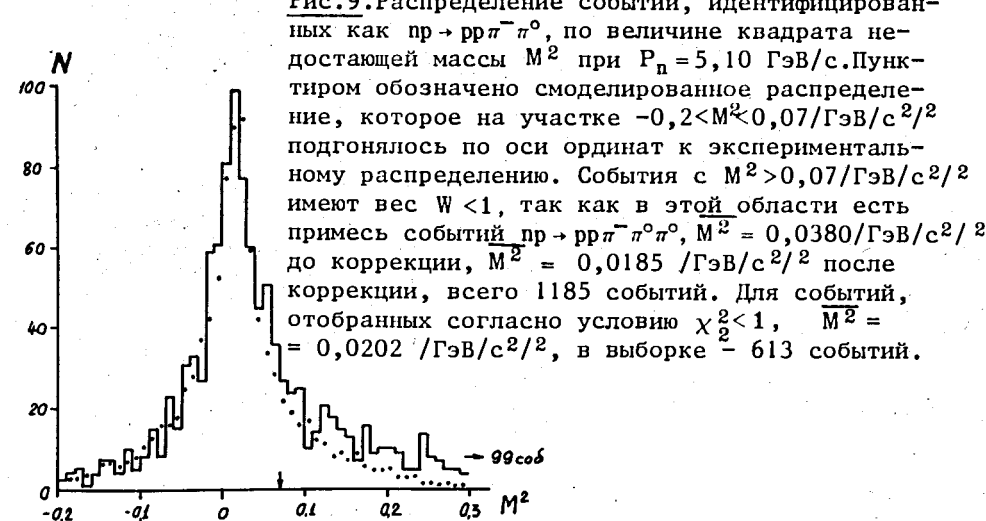


Рис.9. Распределение событий, идентифицированных как $p \rightarrow pp^-\pi^0\pi^0$, по величине квадрата недостающей массы M^2 при $P_n = 5,10$ ГэВ/с. Пунктиром обозначено смоделированное распределение, которое на участке $-0,2 < M^2 < 0,07 / \text{ГэВ}/\text{с}^2/2$ подгонялось по оси ординат к экспериментальному распределению. События с $M^2 > 0,07 / \text{ГэВ}/\text{с}^2/2$ имеют вес $W < 1$, так как в этой области есть примесь событий $p \rightarrow pp^-\pi^0\pi^0$, $M^2 = 0,0380 / \text{ГэВ}/\text{с}^2/2$ до коррекции, $M^2 = 0,0185 / \text{ГэВ}/\text{с}^2/2$ после коррекции, всего 1185 событий. Для событий, отобранных согласно условию $\chi^2_2 < 1$, $M^2 = 0,0202 / \text{ГэВ}/\text{с}^2/2$, в выборке – 613 событий.

На рис.7а показано, как моделирующая кривая /отмечено точками/ совмещается с распределением по недостающей массе. Превышение справа компенсируется уменьшением весов событий, попавших в эту область. Подробнее изложение использованного метода моделирования приведено в ^{9/}.

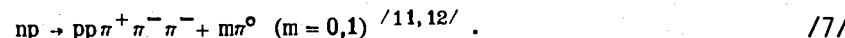
Распределение событий по M^2 для процесса /3/ при $P_n = 2,23$ ГэВ/с /а/ и $P_n = 3,83$ ГэВ/с /б/ показано на рис.8.

5. ОПРЕДЕЛЕНИЕ ПОПРАВОК К СЕЧЕНИЯМ МЕТОДОМ МОДЕЛИРОВАНИЯ НА ОСНОВЕ РЕАЛЬНЫХ СОБЫТИЙ

Как сказано выше, наличие "хвостов" в распределениях по квадрату недостающей массы в реакциях /2/ и /3/ может быть объяснено тем, что часть событий из реакций $(2F \div 4F)$, а также событий, обусловленных вторичными нейтронами (FB), может быть ошибочно идентифицирована как события реакций /2/ или /3/. Однако, как будет показано ниже, большая часть событий из $(2F \div 4F)$ и (FB) будет отнесена к реакциям с несколькими нейтральными частицами /4/. Для определения вкладов процессов $(2F \div 4F)$ и (FB) в канал /4/ использовалась идентификация положительных частиц канала /4/. В зависимости от идентификации события канала /4/ можно разбить на 5 групп /табл.2/. Аналогично следует разбить на группы и события реакций $(2F \div 4F)$ и (FB), отнесенные к каналу /4/.

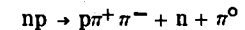
Поскольку фоновые события не разделены по отдельным каналам, приходится прибегнуть к моделированию. Для моделирования реакций $(2F \div 4F)$, использовались 5-лучевые звезды из пр-взаимодействий ^{10/} при этих же импульсах налетающего нейтрона.

2F) При моделировании реакции $pp \rightarrow pp\pi^- + k\pi^0$ ($k \geq 2$) использовались события реакции



Предполагалось, что существенные в нашем случае характеристики реакции (2F) можно получить на основе событий реакции /7/ при замене комбинации $(\pi^+\pi^-)$ в реакции /7/ на комбинацию $(\pi^0\pi^0)$, т.е. исключив в событиях реакции /7/ по одному треку π^+ и π^- -мезона.

3F) При моделировании реакции



использовались события реакции



причем комбинация $(pp\pi^-)$ в реакции /8/ заменялась комбинацией (pp^0) , т.е. исключались треки одного протона и одного π^- -мезона.

Таблица 2

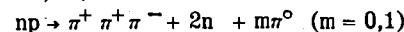
Классификация экспериментальных событий, отнесенных к процессу /4/, и моделюемых событий реакций $(2F \div 4F)$ и (FB) в зависимости от идентификации положительных треков

N_{tot}		I	2	3	4	5	α
		--	$\pi\pi$	πp	$p\pi$	pp	
EXP 3-луч + mX^0	2063	I34	379	I57	II87	206	-
2F ($k\pi^0$)	5626	545	0	0	0	I607	0,07I
3F ($n + \pi^0$)	6864	315	0	463	4378	0	0,2II
4F (2n)	2796	8I	2645	0	24	0	0,139
FB	I0000	428	283	645	4049	I340	0,065

Первый символ в каждой из 5 групп соответствует идентификации в л.с. положительного трека быстрой частицы, второй - идентификации трека медленной частицы: "- " - нет идентификации, " π " - трек идентифицирован как π -мезон, "p" - трек идентифицирован как протон, α - величины вклада фоновых процессов.

В строках, относящихся к реакциям $(2F \div 4F)$ и (FB), указано число моделюемых событий.

4F) При моделировании реакции



использовались события реакции /7/. Процесс моделирования заключался в переходе в антилабораторную систему координат с последующим изотопическим сопряжением:



FB) Для моделирования событий, обусловленных взаимодействием непучковых нейтронов, использовались 3-лучевые события при меньших значениях импульсов налетающего нейтрона P_n . Так, при определении поправок для событий с $P_n = 5,10$ ГэВ/с в качестве фона были взяты 3-лучевые события с $P_n = 3,83$ и $2,23$ ГэВ/с; при определении поправок для событий с $P_n = 3,83$ ГэВ/с использовались данные для $P_n = 2,23$ ГэВ/с и т.д.

Следует отметить, что вклады от реакций $(2F \div 4F)$ необходимо учитывать только при импульсах $P_n = 5,10$ и $3,83$ ГэВ/с, в то время как вклад от (FB) - при всех значениях P_n .

Затем для моделированных таким образом событий реакций $(2F \div 4F)$ и (FB) вычислялся в предположении о принадлежности этих событий к реакциям /2/ и /3/ оценочный χ^2_q по формуле

$$\chi^2_q = \frac{(MM^2 - M_{X^0}^2)^2}{(\Delta MM^2)^2},$$

где MM^2 - квадрат недостающей массы для моделированного события, вычисленный в предположении о его принадлежности реакции /2/ или /3/; $M_{X^0}^2$ - квадрат массы π^0 -мезона или нейтрона соответственно. Анализ показал, что для реальных событий реакций /2/ и /3/ оценочный χ^2_q близок по величине к χ^2 , вычисленному по программе идентификации каналов реакций^{/6/}. В соответствии с этим было выбрано граничное значение χ^2_q гр. = 12 /в программе идентификации каналов реакций использовалось $\chi^2_q = C_1 = 12,5$ /.

Использование χ^2_q и учет возможности идентификации положительных треков частиц в моделированных событиях позволили выделить из реакций $(2F \div 4F)$ и (FB) события, имитирующие процессы /2/ и /3/, и события, идентифицированные как процесс /4/. Для моделированных событий процесса /4/ было также проведено разбиение на группы в зависимости от идентификации положительных частиц /табл.2/.

Для определения величины вкладов a_j реакций $(2F \div 4F)$ и (FB) в экспериментальные события, идентифицированные как процесс /4/, использовались данные по сечениям реакций 5-лучевых звезд из пр-взаимодействия^{/10/} и данные о величине примеси вторичных нейтронов в пучке, полученные при изучении топологических сечений^{/4/}. С учетом этого проводилась минимизация по всем a_j следующего функционала:

$$F = \sum_i \frac{(N_i^{\text{exp}} - \sum_j a_j N_i^j)^2}{(\Delta N_i^{\text{exp}})^2} \Rightarrow \min, \quad i = 1 \div 5,$$

где N_i^{exp} - количество экспериментальных событий, отнесенных к процессу /4/, в i -идентификационной группе; N_i^j - количество моделюемых событий реакции (j) в i -идентификационной группе; a_j - вклад реакции (j) в процесс /4/, $j=2F,3F,4F,FB$. Полученные значения a_j приведены в табл.3.

Тогда истинное число событий реакций /2/ и /3/ определяется по формуле:

$$N_k = N_k^{\text{exp}} - \sum_j a_j N_k^j, \quad k = 2,3, \quad j = 2F,3F,4F,FB,$$

где N_k^{exp} - количество событий канала (k), включая и фон; N_k^j - количество моделюемых событий фоновой реакции (j), имитирующих реакцию (k).

Таблица 3

Сечения идентифицированных процессов в трехлучевых звездах из пр-взаимодействий. Данные по пр- $\pi^+\pi^-$ взяты из^{/3/}, топологические сечения - из работы^{/4/}

$P_n/\text{ГэВ/с/}$	1,25	1,73	2,23	3,83	5,10
N_{tot} (событий)	1624	6026	7686	12249	7253
$G(pp\bar{\pi})$ (мб)	$1,45 \pm 0,06$	$3,15 \pm 0,14$	$3,46 \pm 0,15$	$2,84 \pm 0,12$	$2,36 \pm 0,11$
$G(pp\bar{\pi}\pi^0)$ (мб)		$0,10 \pm 0,01$	$0,56 \pm 0,05$	$2,21 \pm 0,13$	$2,27 \pm 0,12$
$G(p\bar{\pi}^+\pi^-)$ (мб)		$0,58 \pm 0,04$	$4,35 \pm 0,18$	$7,80 \pm 0,32$	$6,89 \pm 0,28$
$G(d\pi^+\pi^-)$ (мб)		$0,27 \pm 0,02$	$0,33 \pm 0,02$	$0,05 \pm 0,02$	$0,03 \pm 0,02$
$G(3-\text{л.}+m\chi^0)$ (мб)				$2,31 \pm 0,24$	$5,95 \pm 0,30$
$G_{\text{top.3}}$ (мб)	$1,45 \pm 0,06$	$4,10 \pm 0,15$	$8,7 \pm 0,3$	$15,2 \pm 0,5$	$17,5 \pm 0,5$
G_{tot} (мб)	$37,5 \pm 0,4$	$40,0 \pm 0,2$	$42,0 \pm 0,1$	$42,5 \pm 0,1$	$42,0 \pm 0,1$

Как отмечалось в п.3, часть экспериментальных событий $\sim 10\%$ при $P_n = 5,10$ ГэВ/с удовлетворяет как гипотезе реакции /2/, так и гипотезе реакции /3/. Чтобы определить, какую долю в этих событиях составляют события реакции /2/, а какую - реакции /3/, было проведено моделирование реакций /2/ и /3/ по программе FOWL с использованием матричного элемента, аналогичного примененному в работе^{/11/} и обеспечивающего периферичность характеристик 3-лучевых событий^{/13/}. В качестве ошибок измерений треков брались значения соответствующих средних ошибок для данного импульса частиц. Для каждого моделированного события вычислялся χ^2_q и с учетом возможности идентификации вторичных частиц определялось, гипотеза какой реакции, /2/ или /3/, удовлетворяет моделированное событие. Анализ показал, что при импульсе налетающего нейтрона $P_n = 5,10$ ГэВ/с из числа событий, удовлетворяющих одновременно гипотезам /2/ и /3/, к реакции /2/ следует отнести $a_{\pi^0}^{pp\bar{\pi}} = 77,24\%$ событий, а остальные - к реакции /3/. Для импульса $P_n = 3,83$ ГэВ/с $a_{\pi^0}^{pp\bar{\pi}} = 83,67\%$.

Описанный в п.4 способ определения поправок к сечениям основан на предположении, что для событий реакций /2/ и /3/ с $\chi^2 < 1$ можно пренебречь вкладом в них фона при моделировании распределений квадратов недостающих масс. Величина фона в этом классе событий, вычисленная при помощи изложенного здесь /п.5/ метода моделирования реакций $(3F \div 4F)$ и (FB) , действительно, ока-

залась равной < 7%. Количество событий реакций /2/ и /3/, определенное в п.4, в пределах ошибок совпадает с количеством событий, найденным методикой моделирования фона.

6. ОПРЕДЕЛЕНИЕ СЕЧЕНИЙ

Определение сечений происходит по формуле

$$\sigma_i = \frac{N_i}{N_{tot}} \sigma_{top.3}, \quad /7/$$

где: N_i - количество событий /с учетом весов и поправок/, идентифицированных как процесс (i); N_{tot} - количество трехлучевых событий, зарегистрированных в рабочей области камеры /без неизмеримых/; $\sigma_{top.3}$ - топологическое сечение трехлучевых звезд /4/.

Ошибка в сечении определяется с учетом ошибок всех членов в формуле /7/.

Сечения каналов реакций представлены в табл.3.

Полученные данные по сечениям каналов реакций 3-лучевых пр-взаимодействий необходимы при изучении нуклон-ядерных и ядро-ядерных взаимодействий при высоких энергиях, а также для проверки применимости некоторых моделей взаимодействий элементарных частиц, в частности ОРЕ-модели.

Авторы выражают свою благодарность лаборантам Нейтронной группы ЛВЭ, коллективам секторов НРД и ПУОС ЛВТА за проведение измерений и Л.С.Акимовой за подготовку материала к печати.

ЛИТЕРАТУРА

1. Belonogov A.V. et al. Nucl. Instr. and Meth., 1963, 20, p.114.
2. Гаспарян А.П. и др. ОИЯИ, 1-9111, Дубна, 1975; ПТЭ, 1976, т.2, с.37-42.
3. Абдивалиев А. и др. ОИЯИ, 1-10034, Дубна, 1976.
4. Абдивалиев А. и др. ОИЯИ, 1-8565, Дубна, 1975; Nucl.Phys., 1975, B99, p.445,450.
5. Которобай Ф., Мороз В.И., Родионов А.И. ОИЯИ, Р10-9314, Дубна, 1975.
6. Маркова Н.Ф. и др. ОИЯИ, Р10-3768, Дубна, 1968;
Иванченко З.М. и др. ОИЯИ, Р10-3983, Дубна, 1968.
7. Иерусалимов А.П., Которобай Ф., Мороз В.И. ОИЯИ, Р10-9502, Дубна, 1976.
8. Мороз В.И. и др. ЯФ, 1967, т.6, вып.1, с.90-93.

9. Абдивалиев А. и др. ОИЯИ, Р1-12179, Дубна, 1979.
10. Абдивалиев А. и др. ОИЯИ, 1-10669, Дубна, 1977.
11. Абдивалиев А. и др. ОИЯИ, Р1-11614, Дубна, 1978.
12. Абдивалиев А. и др. ОИЯИ, Р1-11615, Дубна, 1978.
13. Абдивалиев А. и др. ОИЯИ, Б1-1-12181, Дубна, 1979.

Рукопись поступила в издательский отдел
18 февраля 1981 года.